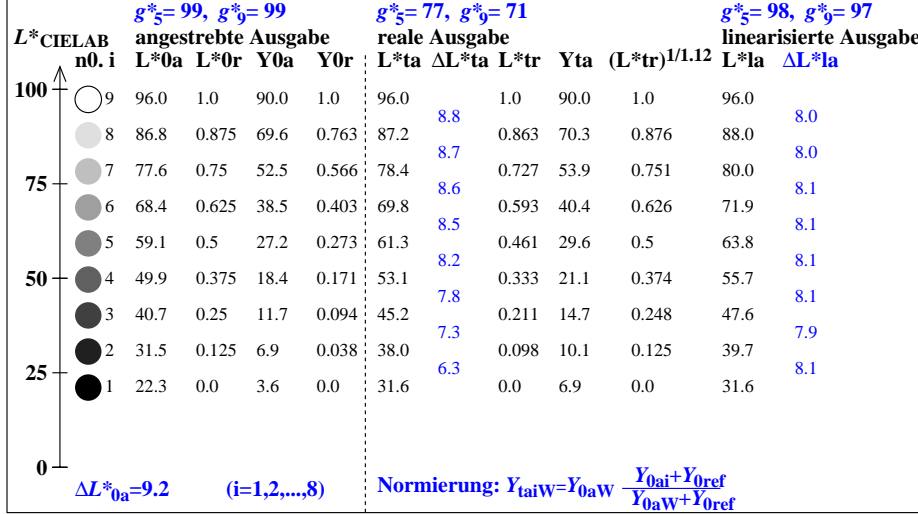


9stufige Grauskalierung zwischen  $L^*_{0aN}=22.3$  und  $L^*_{0aW}=95.9$ ,  $Y_{0ref}=3.6$ , Normierung Weiß W

$L^*_{0aN}=22.3$ ,  $L^*_{0aU}=59.1$ ,  $L^*_{0aW}=96.0$ ,  $Y_{0aN}=3.6$ ,  $Y_{0aU}=27.2$ ,  $Y_{0aW}=90.0$ ,  $C_{0aY}=Y_{0aW}:Y_{0aN}=25.0$   
 $L^*_{taN}=31.6$ ,  $L^*_{taU}=61.3$ ,  $L^*_{taW}=96.0$ ,  $Y_{taN}=6.9$ ,  $Y_{taU}=29.6$ ,  $Y_{taW}=90.0$ ,  $C_{taY}=Y_{taW}:Y_{taN}=13.0$

Regularitätsindex nach ISO/IEC 15775:2022, Anhang G für 5 und 9 Stufen

$g^* = 100 [\Delta L^*_{min}] / [\Delta L^*_{max}]$ ,  $L^*_{CIELAB} = 116 [Y/Y_n]^{1/3} - 16$  mit  $Y >= 0.882$ ,  $Y_n=100$



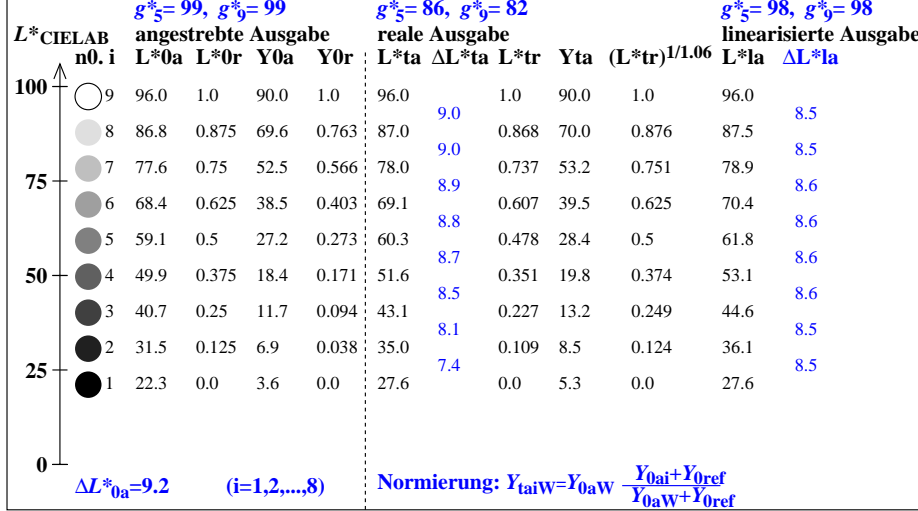
egk00-3n

9stufige Grauskalierung zwischen  $L^*_{0aN}=22.3$  und  $L^*_{0aW}=95.9$ ,  $Y_{0ref}=1.8$ , Normierung Weiß W

$L^*_{0aN}=22.3$ ,  $L^*_{0aU}=59.1$ ,  $L^*_{0aW}=96.0$ ,  $Y_{0aN}=3.6$ ,  $Y_{0aU}=27.2$ ,  $Y_{0aW}=90.0$ ,  $C_{0aY}=Y_{0aW}:Y_{0aN}=25.0$   
 $L^*_{taN}=27.6$ ,  $L^*_{taU}=60.3$ ,  $L^*_{taW}=96.0$ ,  $Y_{taN}=5.3$ ,  $Y_{taU}=28.4$ ,  $Y_{taW}=90.0$ ,  $C_{taY}=Y_{taW}:Y_{taN}=17.0$

Regularitätsindex nach ISO/IEC 15775:2022, Anhang G für 5 und 9 Stufen

$g^* = 100 [\Delta L^*_{min}] / [\Delta L^*_{max}]$ ,  $L^*_{CIELAB} = 116 [Y/Y_n]^{1/3} - 16$  mit  $Y >= 0.882$ ,  $Y_n=100$



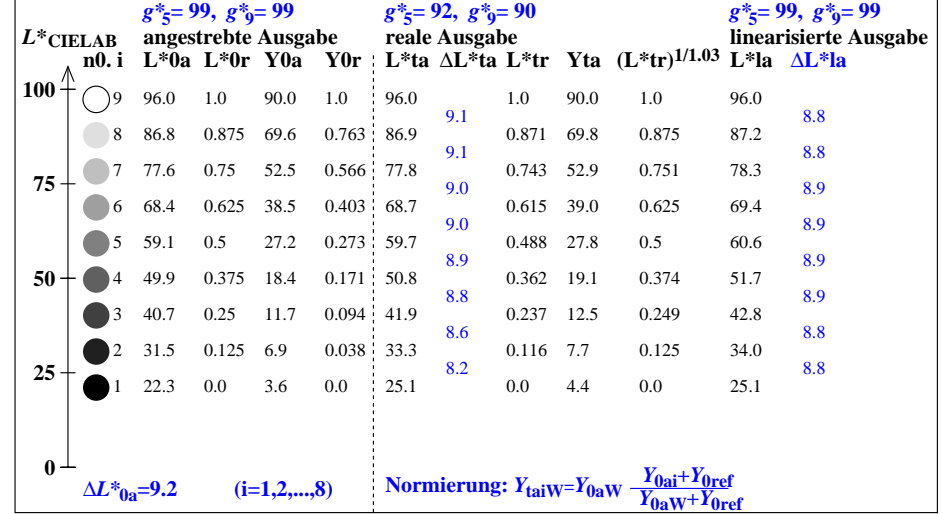
egk00-7n

9stufige Grauskalierung zwischen  $L^*_{0aN}=22.3$  und  $L^*_{0aW}=95.9$ ,  $Y_{0ref}=0.9$ , Normierung Weiß W

$L^*_{0aN}=22.3$ ,  $L^*_{0aU}=59.1$ ,  $L^*_{0aW}=96.0$ ,  $Y_{0aN}=3.6$ ,  $Y_{0aU}=27.2$ ,  $Y_{0aW}=90.0$ ,  $C_{0aY}=Y_{0aW}:Y_{0aN}=25.0$   
 $L^*_{taN}=25.1$ ,  $L^*_{taU}=59.7$ ,  $L^*_{taW}=96.0$ ,  $Y_{taN}=4.4$ ,  $Y_{taU}=27.8$ ,  $Y_{taW}=90.0$ ,  $C_{taY}=Y_{taW}:Y_{taN}=20.2$

Regularitätsindex nach ISO/IEC 15775:2022, Anhang G für 5 und 9 Stufen

$g^* = 100 [\Delta L^*_{min}] / [\Delta L^*_{max}]$ ,  $L^*_{CIELAB} = 116 [Y/Y_n]^{1/3} - 16$  mit  $Y >= 0.882$ ,  $Y_n=100$



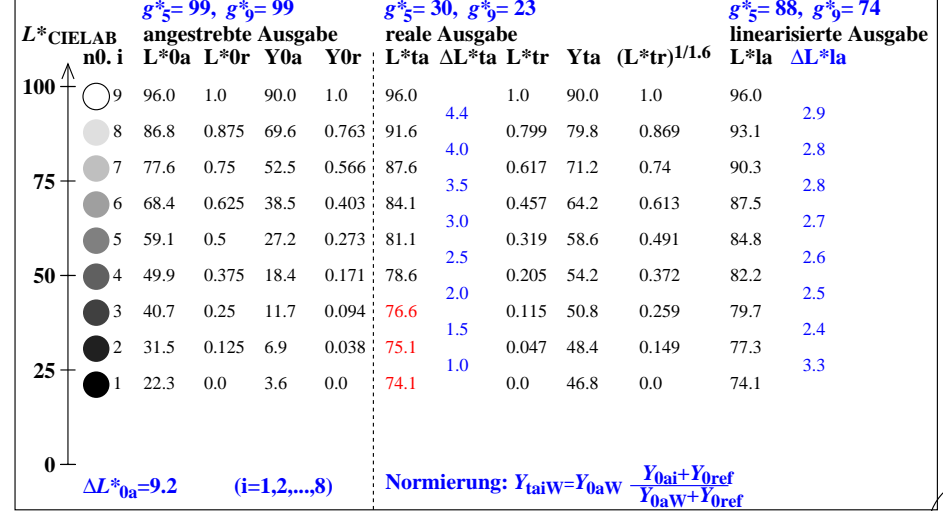
egk01-3n

9stufige Grauskalierung zwischen  $L^*_{0aN}=22.3$  und  $L^*_{0aW}=95.9$ ,  $Y_{0ref}=90.0$ , Normierung Weiß W

$L^*_{0aN}=22.3$ ,  $L^*_{0aU}=59.1$ ,  $L^*_{0aW}=96.0$ ,  $Y_{0aN}=3.6$ ,  $Y_{0aU}=27.2$ ,  $Y_{0aW}=90.0$ ,  $C_{0aY}=Y_{0aW}:Y_{0aN}=25.0$   
 $L^*_{taN}=74.1$ ,  $L^*_{taU}=81.1$ ,  $L^*_{taW}=96.0$ ,  $Y_{taN}=46.8$ ,  $Y_{taU}=58.6$ ,  $Y_{taW}=90.0$ ,  $C_{taY}=Y_{taW}:Y_{taN}=1.9$

Regularitätsindex nach ISO/IEC 15775:2022, Anhang G für 5 und 9 Stufen

$g^* = 100 [\Delta L^*_{min}] / [\Delta L^*_{max}]$ ,  $L^*_{CIELAB} = 116 [Y/Y_n]^{1/3} - 16$  mit  $Y >= 0.882$ ,  $Y_n=100$



egk01-7n

Technische Information: http://farbe.li.tu-berlin.de oder http://color.li.tu-berlin.de  
 Siehe ähnliche Dateien der ganzen Serie: http://farbe.li.tu-berlin.de/egks.htm

TÜB-Registrierung: 20230701-egk0/egk010np.pdf / .ps  
 Anwendung für Beurteilung und Messung von Display- oder Druck-Ausgabe  
 TÜB-Material: Code=rh4ta